

ОБЪЕДИНЕННЫЙ
ИНСТИТУТ
ЯДЕРНЫХ
ИССЛЕДОВАНИЙ
ДУБНА



Л-618

44-45

3/II-75

P6 - 8279

775/2-75 Я.Липтак, В.Хабенихт

РАСПАД ^{77}Rb

1974

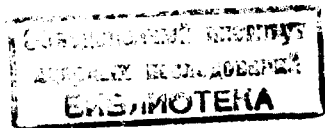
ЛАБОРАТОРИЯ ЯДЕРНЫХ ПРОБЛЕМ

P6 - 8279

Я.Липтак, В.Хабенихт

РАСПАД ^{77}Rb

Направлено в "Изв. АН СССР"



Введение

Радиоактивный изотоп ^{77}Rb был обнаружен в 1972 году /1,2/. Период полураспада ^{77}Rb равен /3,9±0,1/ мин по /1/ и /6,1±0,5/ мин по /2/. Было обнаружено также 6 γ -переходов, сопровождающих β -распад ^{77}Rb /1,2/ : 66,5; 150,1; 178,9; 244,4; 254,3; 393,5. Однако экспериментальные данные не позволили составить схему распада ^{77}Rb .

По модели оболочек и по аналогии с соседними изотопами рубидия следует ожидать, что ^{77}Rb в основном состоянии имеет спин и четность $3/2^-$ или $5/2^-$. Квантовые характеристики основного состояния дочернего изотопа ^{77}Kr , $I'' = 7/2^+$, были определены в /3/ при изучении β -распада этого ядра.

Настоящая работа посвящена более детальному исследованию распада ^{77}Rb и изучению структуры уровней дочернего четно-нечетного ядра ^{77}Kr при распаде ^{77}Rb .

Условия и результаты экспериментов

Изотоп ^{77}Rb мы получали в реакции глубокого расщепления $\text{Zr} - \text{Nb}$ - мишени. Мишень весом ~ 140 мг облучалась в течение 10-15 мин протонами с энергией 660 МэВ на выведенном пучке /ток 0,1 мкА/ синхротрона ОИЯИ. Облученная мишень помещалась непосредственно в трубчатый ионный источник с поверхностной ионизацией электромагнитного масс-сепаратора. При нагревании мишени в ионном источнике изотопы рубидия - продукты ядерных реакций - диффундировали из

вещества мишени, ионизовались и поступали в камеру масс-сепаратора. Более подробно использованный метод описан в ¹. Разделенные изотопы рубидия собирались на алюминизированной органической пленке. Масс-се-

Таблица I

Энергии и относительные интенсивности γ -лучей, возникающих при распаде ^{77}Rb

E_γ [кэВ]	I_γ	E_γ [кэВ]	I_γ
$39,2 \pm 0,4$	$0,5 \pm 0,2$	$608,5 \pm 0,8$	$5,5 \pm 1,2$
$66,5 \pm 0,1$	100	$609,4 \pm 0,9$	$1,2 \pm 0,4$
$78,1 \pm 0,7$	$0,20 \pm 0,07$	617 ± 1	$\sim 0,3$
106	± 1	$0,15 \pm 0,06$	$626,5 \pm 0,4$
$150,0 \pm 0,3$	$7,1 \pm 0,5$	$634,0 \pm 0,8$	$0,4 \pm 0,1$
$178,5 \pm 0,2$	40 ± 3	$647,7 \pm 0,4$	$6,2 \pm 0,6$
$216,0 \pm 1,5$	$\sim 0,1$	$666,9 \pm 0,7$	$2,4 \pm 0,3$
$237,1 \pm 0,5$	$0,7 \pm 0,2$	$674,3 \pm 0,7$	$1,0 \pm 0,2$
$245,2 \pm 0,4$	$3,6 \pm 0,3$	$712,4 \pm 0,7$	$1,2 \pm 0,2$
$254,3 \pm 0,4$	$\{3,2 \pm 0,7$ ^{a)}	$724,5 \pm 0,7$	$0,9 \pm 0,2$
	$\{1,3 \pm 0,4$ ^{a)}	$729,1 \pm 0,9$	$0,4 \pm 0,2$
$291,0 \pm 1,5$	$0,3 \pm 0,1$	$746,5 \pm 1,5$	$\sim 0,2$
$306,0 \pm 1,5$	$0,3 \pm 0,1$	$756,0 \pm 1,5$	$\sim 0,2$
$354,1 \pm 0,8$	$0,6 \pm 0,2$	$776,1 \pm 0,9$	$0,8 \pm 0,2$
$393,3 \pm 0,3$	$18,5 \pm 1,5$	$779,8 \pm 0,8$	$1,9 \pm 0,3$
$432,8 \pm 0,5$	$1,9 \pm 0,3$	783 ± 1	$1,6 \pm 0,3$
$468,8 \pm 0,5$	$2,2 \pm 0,3$	$791,7 \pm 1,0$	$0,6 \pm 0,2$
511 ± 2	$\geq 1,4$ ^{b)}	$801,0 \pm 0,8$	$1,0 \pm 0,2$
$525,0 \pm 1,5$	$\sim 0,2$	$805,6 \pm 0,7$	$\{3,5 \pm 1,0$ ^{a)}
$545,3 \pm 0,5$	$2,0 \pm 0,3$		$\{1,0 \pm 0,3$ ^{a)}
554 ± 1	$0,6 \pm 0,2$	$826,0 \pm 1,5$	$\sim 0,1$
$568,9 \pm 1,0$	$0,3 \pm 0,1$	$834,1 \pm 1,0$	$0,4 \pm 0,2$
$577,2 \pm 0,5$	$2,1 \pm 0,3$	$852,8 \pm 0,7$	$1,4 \pm 0,2$
$597,2 \pm 0,6$	$0,7 \pm 0,2$	$860,0 \pm 0,7$	$1,1 \pm 0,2$

Продолжение табл. I

E_γ [кэВ]	I_γ	E_γ [кэВ]	I_γ
$871,3 \pm 0,8$	$0,5 \pm 0,2$	1312	± 2
$909,8 \pm 0,7$	$1,2 \pm 0,2$	1360	± 2
$946,8 \pm 1,0$	$0,7 \pm 0,2$	$1378,1 \pm 1,5$	$0,7 \pm 0,3$
$958,7 \pm 0,5$	$3,7 \pm 0,5$	1408	± 2
$966,5 \pm 0,7$	$1,2 \pm 0,2$	1427	± 2
$970,8 \pm 0,4$	$6,0 \pm 0,7$	1448	± 2
$988,3 \pm 0,5$	$3,7 \pm 0,5$	1511	± 2
$1012,5 \pm 0,8$	$1,5 \pm 0,3$	$1541,5 \pm 1,5$	$0,5 \pm 0,2$
$1023,9 \pm 1,0$	$0,8 \pm 0,2$	1606	± 2
$1037,7 \pm 0,6$	$2,3 \pm 0,3$	$1631,5 \pm 1,5$	$0,4 \pm 0,2$
$1067,7 \pm 0,7$	$1,4 \pm 0,3$	1662	± 2
1109 ± 1	$0,6 \pm 0,2$	$1672,0 \pm 1,5$	$0,5 \pm 0,2$
$1154,0 \pm 0,7$	$1,8 \pm 0,3$	(1716)	$\sim 0,1$
$1176,3 \pm 0,8$	$1,2 \pm 0,3$	1799	± 2
$1199,2 \pm 1,0$	$0,5 \pm 0,2$	$1839,5 \pm 1,2$	$1,1 \pm 0,4$
1242	± 2	$\sim 0,2$	

а/ Относительные интенсивности определены на основании γ - γ -совпадений; б/ I_γ определена по схеме распада.

парированный изотоп ^{77}Rb мы получали примерно через 7 мин после конца облучения.

Спектры γ -лучей ^{77}Rb исследовались на γ -спектрометрах с Ge(Li) -детекторами /чувствительный объем $2,4 \text{ см}^3$, разрешение $0,7 \text{ кэВ}$ при энергии 100 кэВ и 41 см^3 и 47 см^3 , разрешение $2,5 \text{ кэВ}$ при 1 МэВ/. Калибровка по энергии и интенсивности проводилась с использованием стандартных источников ^{241}Am , ^{133}Ba , ^{226}Ra и ^{60}Co .

Мы повторили измерения периода полураспада ^{77}Rb , наблюдая за изменением интенсивности наиболее сильных переходов, и подтвердили полученное ранее ¹ в нашей лаборатории значение $T_{1/2} = 3,9 \pm 0,1$ мин. При изучении γ -

спектра принадлежность γ -переходов распаду ^{77}Rb устанавливалась по скорости убывания их интенсивностей. К распаду ^{77}Rb отнесено 79 γ -переходов; их энергии и интенсивности приведены в табл. 1. Спектр γ -лучей в интервале энергий 50 - 2000 кэВ, измеренный с детектором 47 см³, изображен на рис. 1.

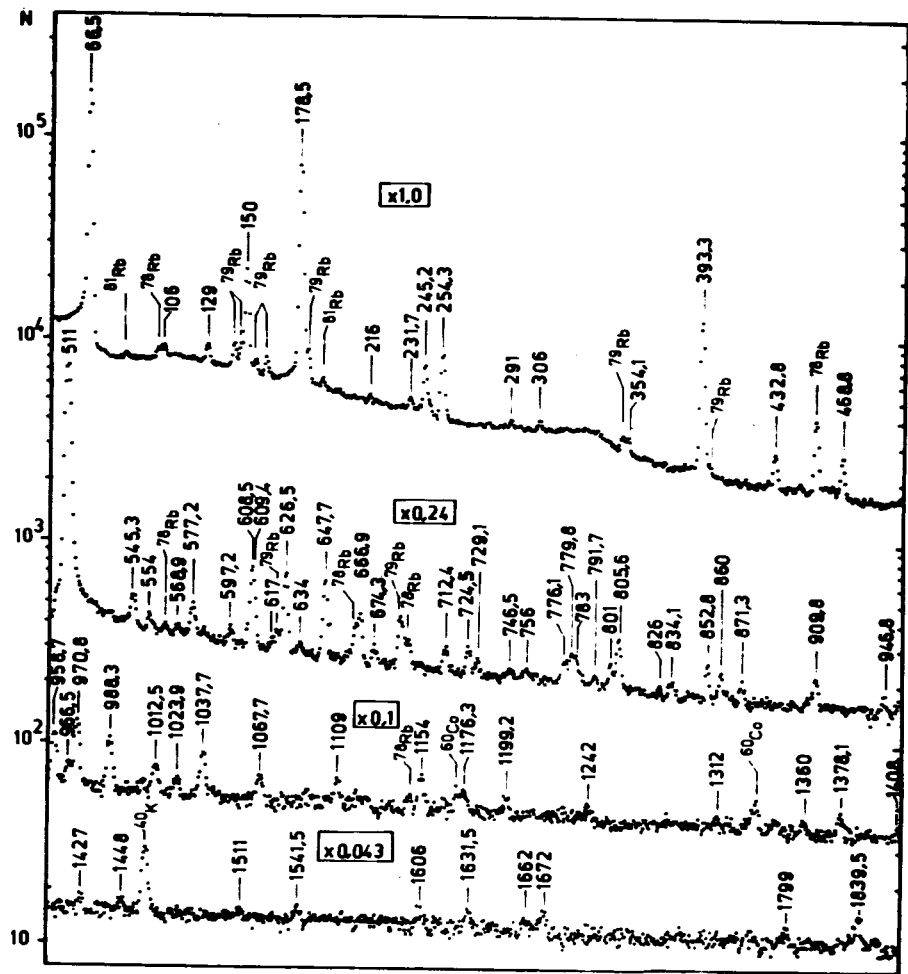


Таблица 2

Результаты измерений $\chi - \chi$ совпадений при распаде ^{77}Rb

Хрестыками обозначены наблюдаемые сопиаления

Измерение спектров γ - γ -совпадений проводилось с помощью двух Ge(Li) - детекторов с чувствительными объемами 27 и 41 см^3 в диапазоне энергий 50 - 2500 кэВ и с временным разрешением 50 нсек. Полученная информация размерностью 4096×4096 каналов собиралась на магнитной ленте. Отдельные сечения рассортировывались программным путем после измерений. Результаты представлены в табл. 2. На рис. 2 приведены примеры спектров совпадений.

Спектр позитронов, возникающих при распаде ^{77}Rb , измерен нами с помощью Si(Li)-детектора /типа TFC-15, толщиной 15 мм, площадью 100 мм^2 /. Для определения граничной энергии позитронов график Ферми-Кюри исправлен с помощью стандартного источника на эффекты искажения за счет рассеяния и суммирования с аннигиляционными γ -квантами /рис. 3/. Использованный метод описан в работе ^{/4/}. Граничная энергия позитронов равна $E_{\text{гр}\beta^{\mp}}/3860 \pm 150$ кэВ.

Схема распада

Большинство обнаруженных γ -переходов размещено в предлагаемой схеме распада ^{77}Rb /рис. 4/. Уровни введены на основе анализа спектров γ - γ совпадений с учетом баланса энергий и интенсивностей переходов.

Среди низких возбужденных состояний ^{77}Kr при β^- -распаде ^{77}Rb наиболее сильно заселяется первый возбужденный уровень 66,5 кэВ. Поэтому мы считаем, что позитроны с $E_{\text{гр}} = 3860$ кэВ идут на этот уровень. Используя полученную таким образом разность масс $^{77}\text{Rb} - {^{77}\text{Kr}}$ $Q = 4950 \pm 150$ кэВ, мы рассчитали значения $lg ft$ для β^- -переходов на уровнях схемы рис. 4. При вычислении использовались теоретические отношения K/β^+ для разрешенных β^- -переходов¹⁵⁾ и предполагалось, что интенсивность β^- -распада в основное состояние мала /переход первого запрета/.

Полученные результаты позволяют, исходя из значений $\lg f_t$ β -переходов и из способа разрядки уровней γ -переходами, ограничить возможные спины и четности некоторых уровней схемы рис. 4. Отметим, что

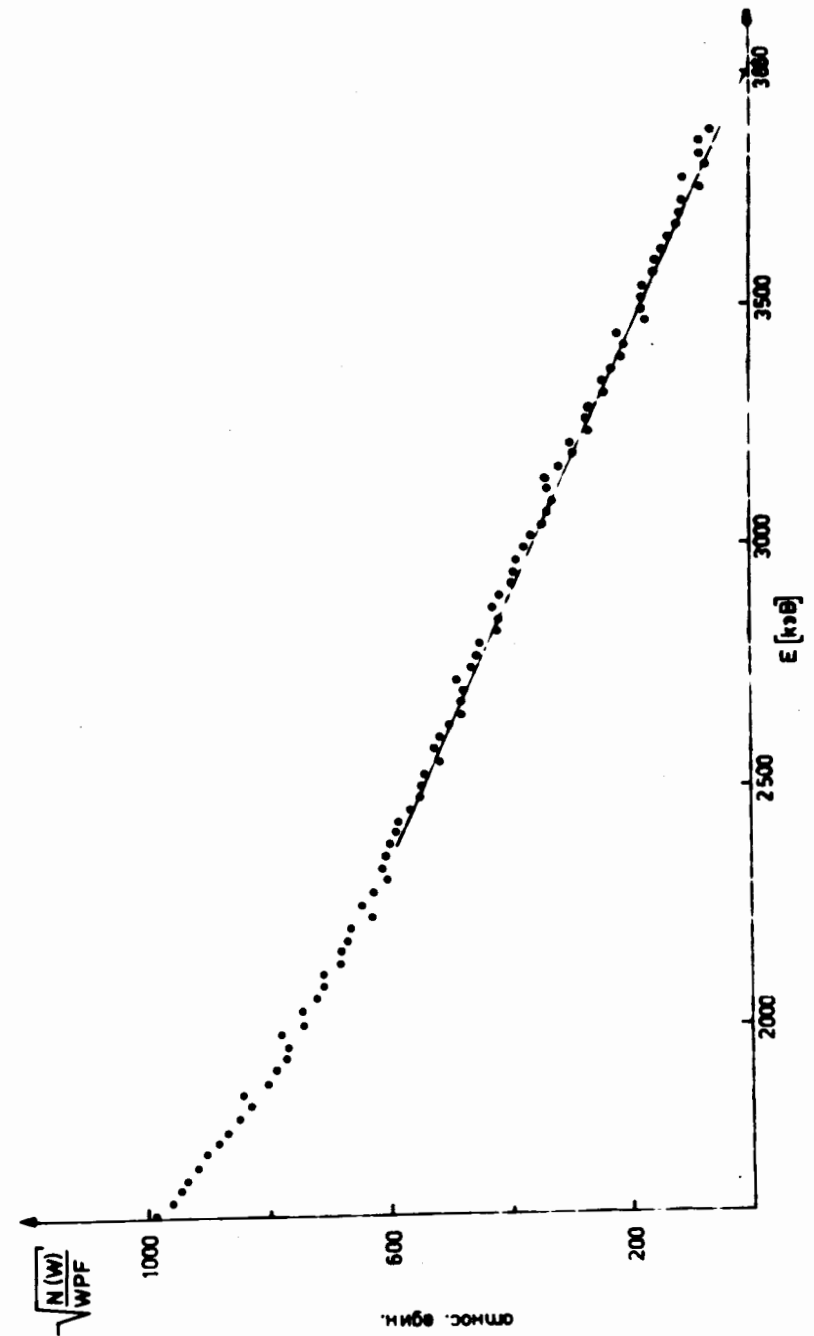
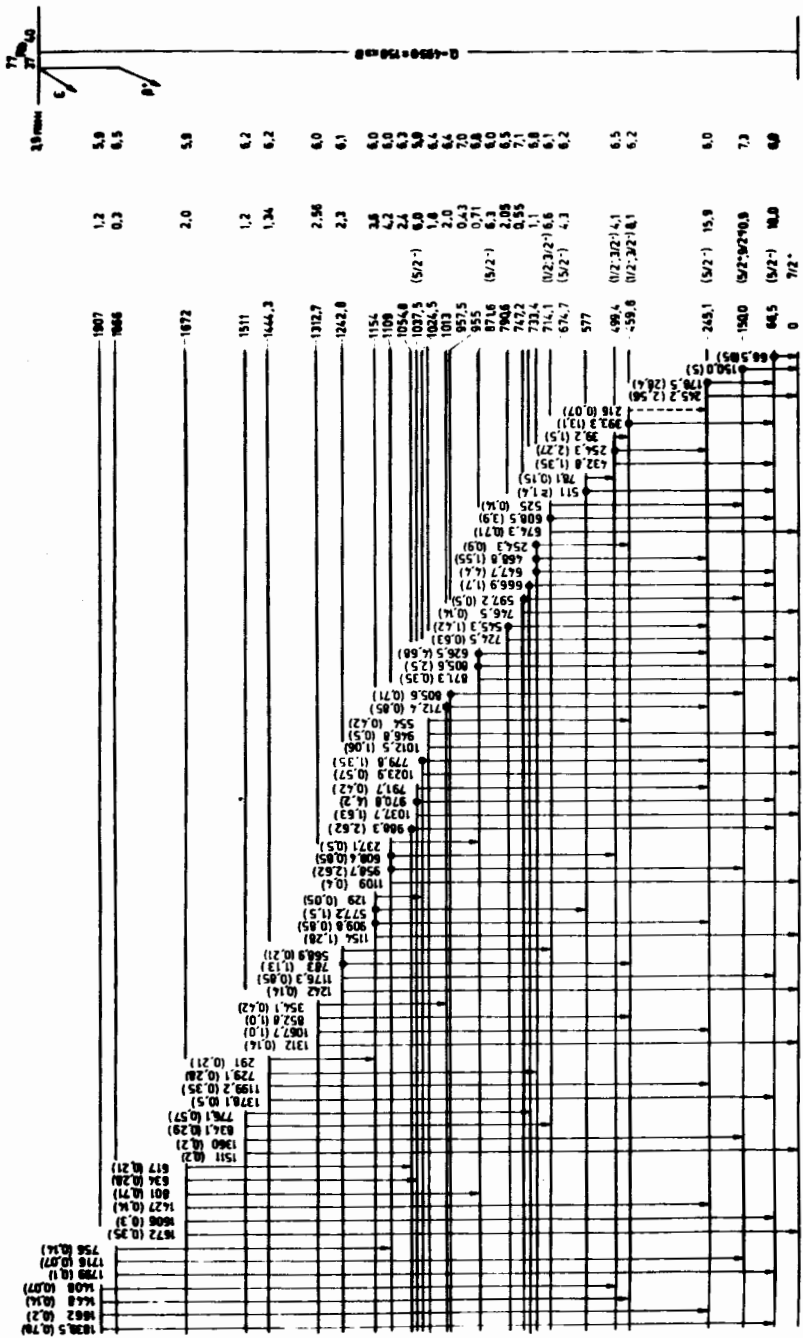


Рис. 3. График Ферми-Кюри β^+ -спектра ^{77}Rb .



в этой области массовых чисел к разрешенным β -переходам можно отнести переходы со значениями $lg ft \leq 6,6$. Из совокупности данных о низколежащих уровнях ядер видно, что ядра с нечетным A имеют в этой области спины и четности $I^\pi = 1/2^- / 3/2^-, 5/2^-, 5/2^+, 7/2^+$ и $9/2^+$.

Основное состояние ^{77}Kr с $I^\pi = 7/2^+ / 3/2^+$, по-видимому, является одним из состояний, связанных с конфигурацией $p(g_{9/2})^3$. Такие состояния довольно часто появляются в этой области масс.

Уровень 66,5 кэВ имеет $I^\pi = 5/2^-$. Разрешенный характер β -перехода на этот уровень ($lg ft = 6,0$) определяет его отрицательную четность и ограничивает спин значениями от $1/2$ до $7/2$. $I^\pi = 1/2^-$ и $3/2^-$ исключаются, так как переход 66,5 кэВ дает интенсивные совпадения с другими γ -переходами /разрешающее время - 50 нсек/. Это означает, что время жизни уровня 66,5 кэВ меньше 100 нсек, а переход 66,5 кэВ - типа E1. Из остающихся возможных $I^\pi = 5/2^-$ и $7/2^-$ выбираем $5/2^-$, т.к. $I^\pi = 7/2^-$ у низколежащих уровней ядер этой области не встречается.

Уровень 150 кэВ возбуждается, по-видимому, β -переходом первого запрета / $lg ft = 7,3$ /, что исключает отрицательную четность и определяет возможные квантовые характеристики этого уровня, как $5/2^+, 7/2^+$ или $9/2^+$. Учитывая, что основное состояние имеет $I^\pi = 7/2^+$, мы считаем, что спин и четность этого уровня $5/2^+$ или $9/2^+$. Этот уровень может являться членом мультиплета $p(g_{9/2})^3$.

Уровень 245,1 кэВ заселяется β -переходом разрешенного типа ($lg ft = 6,0$) и должен иметь отрицательную четность. Кроме того, он разряжается γ -переходами на уровень 66,5 кэВ, $I^\pi = 5/2^-$, и на основное состояние с $I^\pi = 7/2^+$. Исходя из этой совокупности данных можно предположить, что его квантовые характеристики $-I^\pi = 5/2^-$.

На основе аналогичных соображений можно уровням 459,8; 499,4; 674,7; 714,1; 871,6; 1037,5 кэВ приписать спин и четность $/1/2^-, 3/2^-, /1/2^-, 3/2^-, /5/2^-, /1/2^-, 3/2^-, /5/2^-, /5/2^-$ соответственно.

Все известные ядра с нечетным числом нейтронов N от 39 до 47 имеют уровень $I^\pi = 1/2^-$ при энергии ниже

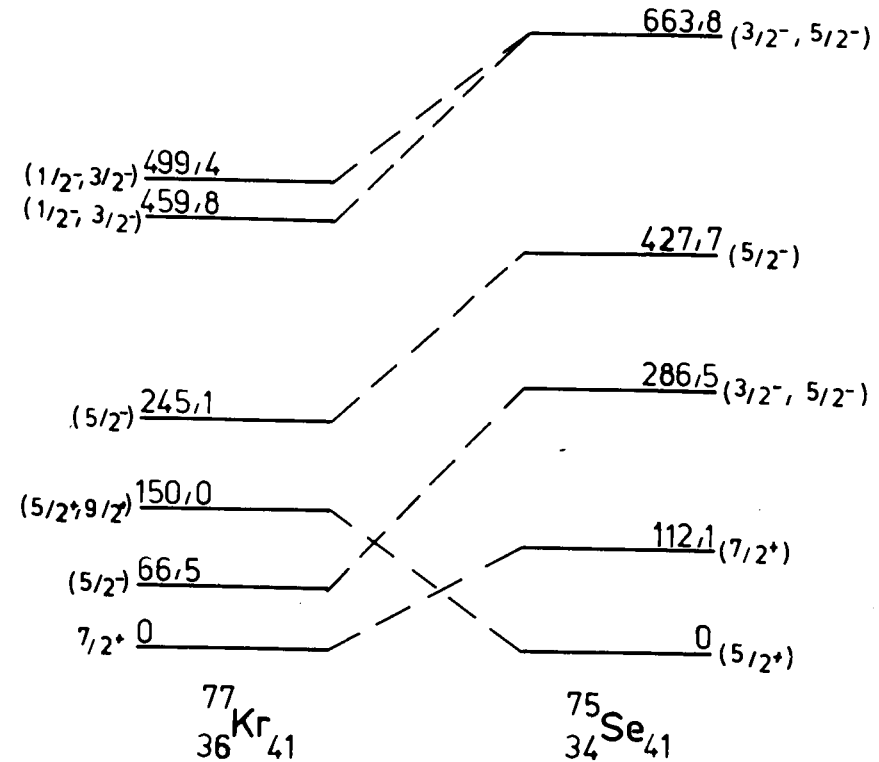


Рис. 5. Систематика низколежащих состояний ^{77}Kr и ^{75}Se .

250 кэВ. Исключение составляют ^{75}Se и ^{77}Kr - изотоны с $N = 41$. Проведем сравнение свойств этих двух ядер /рис. 5/. Отметим разные квантовые характеристики основных состояний: у ^{75}Se $I^\pi = 5/2^+$, а у ^{77}Kr $I^\pi = 7/2^+$. Довольно сильно изменяется расстояние между самыми низкими уровнями с отрицательной и положительной четностью. В то же время расстояния между нижними уровнями с отрицательной четностью почти не меняются. Возможно, это указывает на аналогию в свойствах нижних уровней с отрицательной четностью в этих ядрах.

В заключение авторы считают своим приятным долгом поблагодарить К.Я.Громова за ценные замечания и корректуру текста и М.Яхима за приготовление масс-сепарированных источников.

Литература

1. R.Arlt, V.A.Bystrov, W.Habenicht, E.Herrmann, V.I.Raiko, H.Strusny and H.Tyrroff. *Nucl.Instr. and Meth.*, 102, 253 (1972).
2. J.W.Velandia, W.J.Holmes and G.G.Boswel. *J. of Inorg. and Nucl. Chemistry*, 34, 401 (1972).
3. J.Borchert. *Z. f. Physik*, 244, 388 (1971).
4. P.Charoenkwan. *Nucl.Instr. and Meth.*, 34, 93 (1965).
5. Л.Н.Зырянова. Уникальные бета - переходы. Изд. АН СССР, Москва - Ленинград, 1960.
6. M.Goldhaber and A.W.Sunyar. *Phys.Rev.*, 83, 906 (1951).

*Рукопись поступила в издательский отдел
16 сентября 1974 года.*